

L-Systeme (Lindenmayer-Systeme): Erweiterungen

L-Systeme:

- Verwendung hauptsächlich für Vegetationsmodelle
aber auch: Webmuster, Gebäude, Roboter, Tiere (Vermehrung, Nahrungsaufnahme), Melodien
- 2D- und 3D-Varianten
- Emulation von iterierten Funktionssystemen möglich (siehe Prusinkiewicz & Lindenmayer 1990)
- *dynamische* Simulationen (\Rightarrow Möglichkeit der Animation)
- Anbindung physikalisch oder biologisch begründeter Simulationsmodelle möglich (Kombination von Modell-Ansätzen)

Wiederholung:

Formalismus der L-Systeme:

aus der Theorie formaler Grammatiken

analog zu Chomsky-Grammatiken (regulär, kontextfrei, kontextsensitiv etc.)

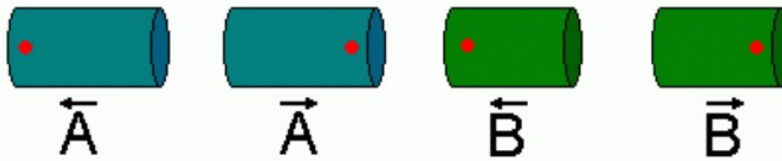
aber: in jedem Ableitungsschritt *parallele* Ersetzung aller Zeichen, auf die eine Regel anwendbar ist

von Aristid Lindenmayer (Botaniker) 1968 zur Modellierung des Wachstums von fadenförmigen Algen eingeführt

Fortgeschrittene Softwaresysteme zur Umsetzung:

- cpfg / LStudio
http://algorithmicbotany.org/virtual_laboratory/
- Grogra <http://www.grogra.de>
- Graphtal
- LParser <http://members.ziggo.nl/laurens.lapre/>
- GroIMP <http://www.grogra.de>

Erstes Beispiel: Anabaena Catenula



Blaugrünes Bakterium, existiert in vier Varianten:

- „groß“: Rechts-A und Links-A
- „klein“: Rechts-B und Links-B

Beobachtungen:

- R-A teilt sich in L-A und R-B und R / L vertauscht
- R-B wird spontan zu R-A, L-B zu L-A

L-System für Anabaena Catenula

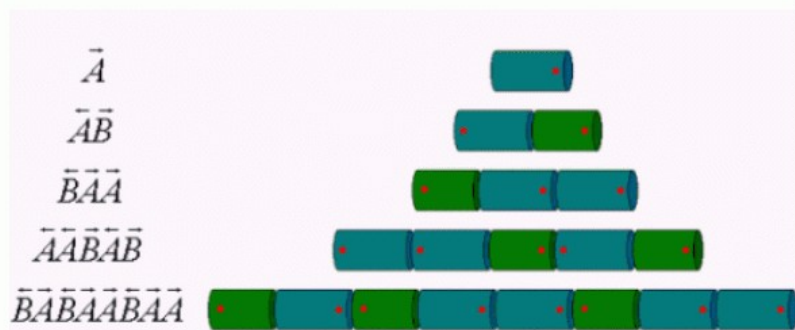
$$\omega : \vec{A}$$

$$p_1 : \vec{A} \rightarrow \vec{A}\vec{B}$$

$$p_2 : \vec{A} \rightarrow \vec{B}\vec{A}$$

$$p_3 : \vec{B} \rightarrow \vec{A}$$

$$p_4 : \vec{B} \rightarrow \vec{A}$$



Simultane Ersetzung („parallel rewriting“)

Grundversion gut für alle Strukturen mit *lokal 1-dimensionalem Grundgerüst* (Verzweigungssysteme).

Wiederholung:

Definition:

Ein (kontextfreies, nichtparametrisches) *L-System* ist ein Tripel (Σ, α, R) , darin ist

- Σ eine nichtleere Menge von Zeichen (das *Alphabet*),
- α ein Element von Σ^* , das *Startwort* oder *Axiom*,
- R eine nichtleere Teilmenge von $\Sigma \times \Sigma^*$, die Menge der *Produktionsregeln* (generative Regeln).

Ein *Ableitungsschritt* eines Wortes $\beta \in \Sigma^*$ besteht aus der Ersetzung aller Zeichen in β , die in linken Regelseiten von R vorkommen, durch die entsprechenden rechten Regelseiten. Man vereinbart: Zeichen, auf die keine Regeln anwenbar sind, werden unverändert übernommen.

"interpretierte" L-System-Abarbeitung:

$$\begin{array}{ccccccc} \alpha & \rightarrow & \sigma_1 & \rightarrow & \sigma_2 & \rightarrow & \sigma_3 \rightarrow \dots \\ & & \downarrow & & \downarrow & & \downarrow \\ & & S_1 & & S_2 & & S_3 \dots \end{array}$$

Interpretationsabbildung $\sigma_i \rightarrow S_i$: meist Turtle-Geometrie. S_1, S_2, S_3, \dots können als Generationen oder als Entwicklungsstufen eines belebten Objekts (Pflanze, Biotop...) interpretiert werden.

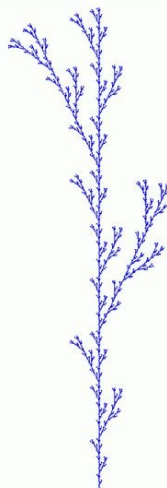
Beispiele

Verzweigungsbeispiel:

$F_0 \rightarrow F_0 [RU(25.7) F_0] F_0 [RU(-25.7) F_0] F_0 ;$

Ergebnis nach 7 Schritten:

(Startwort $L(10) F_0$)

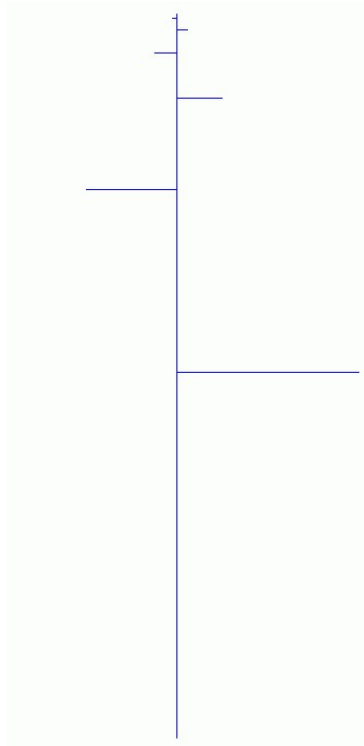


"realistischeres" Beispiel:

Verzweigung, alternierende Zweigstellung und Verkürzung.

Axiom ==> F0 A;

A ==> LMul(0.5) [RU(90) F0] F0 RH(180) A;



welche Struktur liefert

$\alpha \rightarrow F(10) A ;$

$A \rightarrow [RU(-60) F(6) RH(180) A Sphere(3)]$
 $[RU(40) F(10) RH(180) A Sphere(3)] ;$

$Sphere \rightarrow Z ; ?$

(F (n) liefert Linie der vorgegebenen Länge n,
Sphere (n) eine Kugel mit Radius n)

Stochastische L-Systeme: Einbau von Zufallsauswahl

Nichtdeterministische L-Systeme: ein Beispiel

$\omega: F$

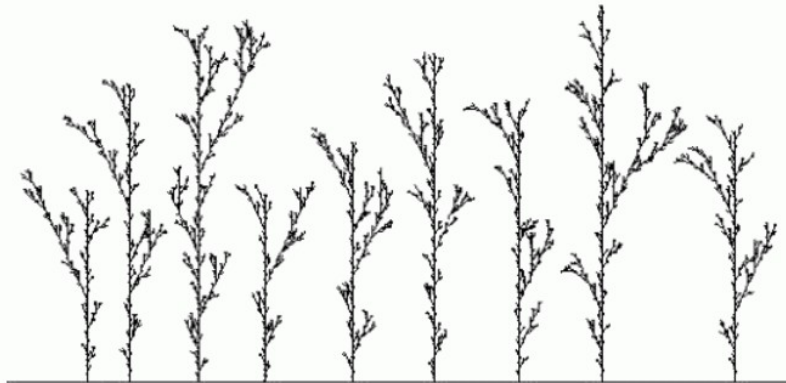
$p_1: F \xrightarrow{0.33} F[+F]F[-F]F$

$p_2: F \xrightarrow{0.33} F[+F]F$

$p_3: F \xrightarrow{0.33} F[-F]F$

$\delta = 30^\circ$

Regeln werden zufällig (hier mit gleichem p) ausgewählt



(in diesem Beispiel – aus Prusinkiewicz & Lindenmayer (1990) – steht "+" für "RU(δ)" und "-" für "RU($-\delta$)". "F" steht für "F0".)

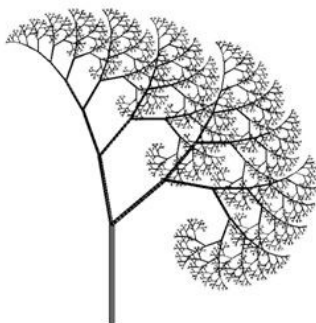
Stochastische L-Systeme

Verwendung von Pseudozufallszahlen

Beispiel:

deterministisch

```
Start ==> L(100) D(5) A;  
A ==> F0 LMul(0.7) DMul(0.7)  
  [ RU(50) A ] [ RU(-10) A ];
```



stochastisch

```
Start ==> L(100) D(5) A;  
A ==> F0 LMul(0.7) DMul(0.7)  
  if (probability(0.5))  
    ( [ RU(50) A ] [ RU(-10) A ] )  
  else  
    ( [ RU(-50) A ] [ RU(10) A ] );
```



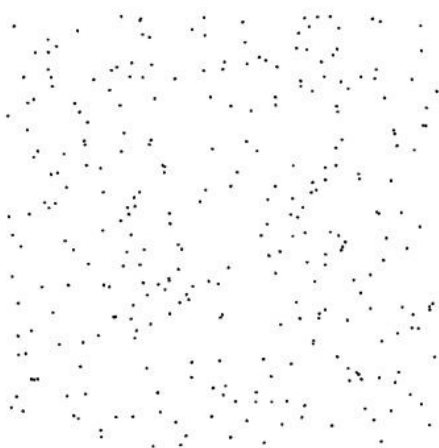
Beispiel: Fichtenmodell in 3D
mit L-System erzeugt



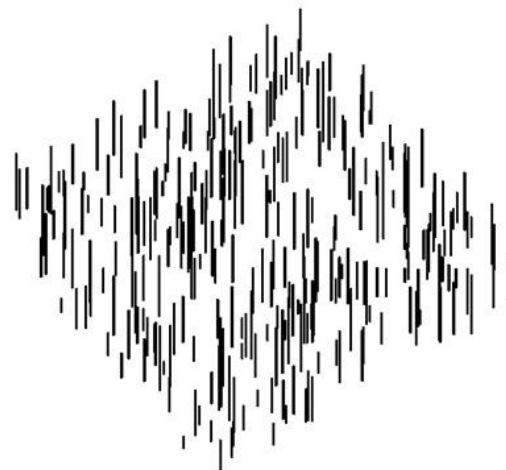
Erzeugung einer Zufallsverteilung in der Ebene:

```
Axiom ==> D(0.5) for ((1:300))  
    ( [ Translate(random(0, 100), random(0, 100), 0)  
      F(random(5, 30)) ] );
```

Ansicht von oben



schräg von der Seite



Erweiterung des Symbol-Konzepts:

Lasse reellwertige Parameter nicht nur bei Turtle-Kommandos wie "RU (45)" und "F (3)" zu, sondern bei allen Zeichen

→ *parametrische L-Systeme*

beliebig lange, endliche Parameterlisten

Parameter werden bei Regel-Matching mit Werten belegt

Beispiel:

Regel $A(x, y) \rightarrow F(7*x+10) B(y/2)$

vorliegendes Zeichen z.B.: $A(2, 6)$

nach der Regelanwendung: $F(24) B(3)$

Parameter können in Bedingungen abgeprüft werden
(logische Bedingungen mit Java-Syntax):

$A(x, y) (x \geq 17 \ \&\& \ y \neq 0) \rightarrow \dots$

Welche Struktur wird von folgendem L-System erzeugt?

$\alpha \rightarrow [RU(90) M(1) RU(90) A(1)] A(1) ;$

$A(n) \rightarrow F(n) RU(90) A(n+1) ;$

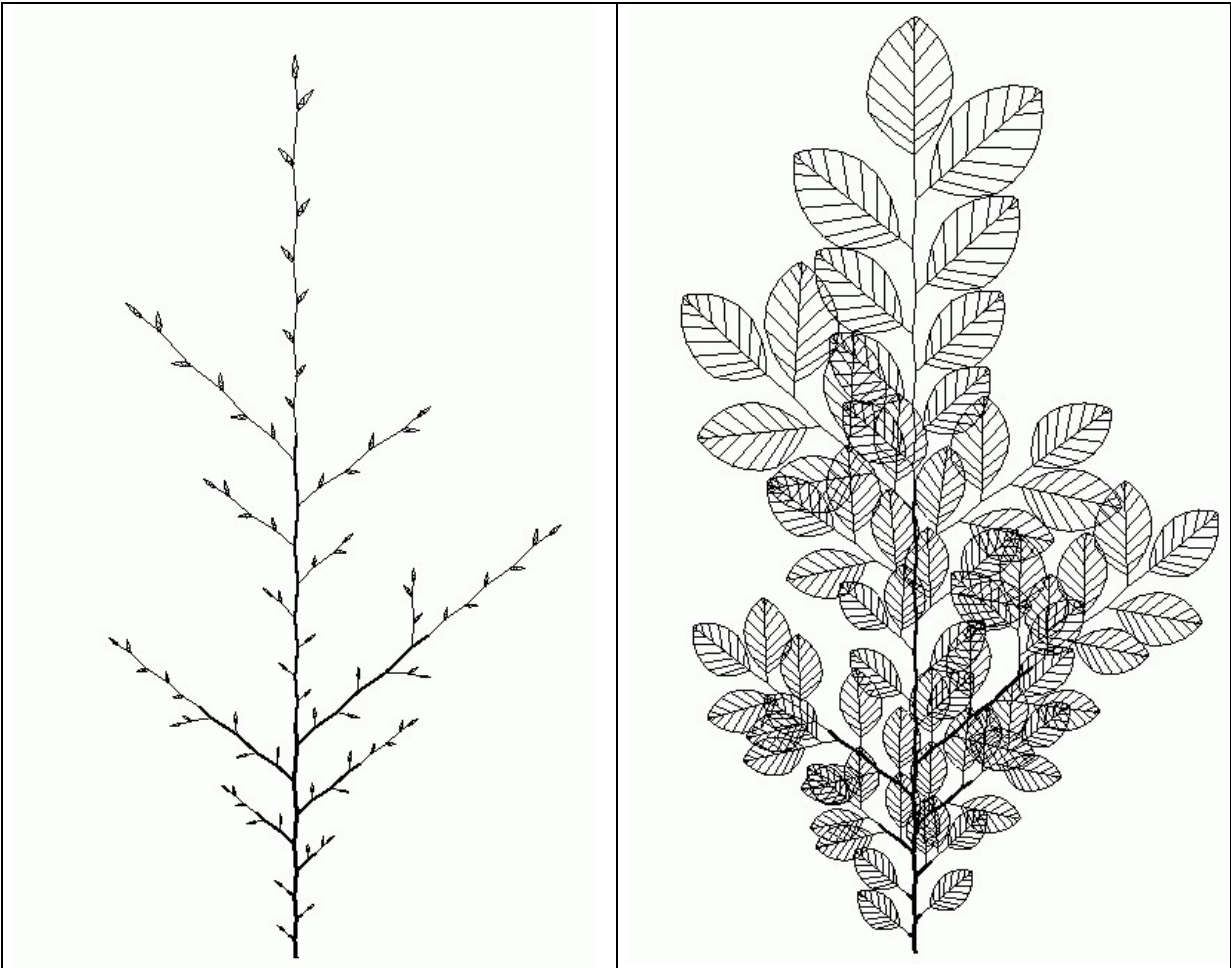
Variante:

in der zweiten Regel "RU (90)" etwa durch "RU (92)"
ersetzen.

Beispiel Minze (von Prusinkiewicz & Lindenmayer):



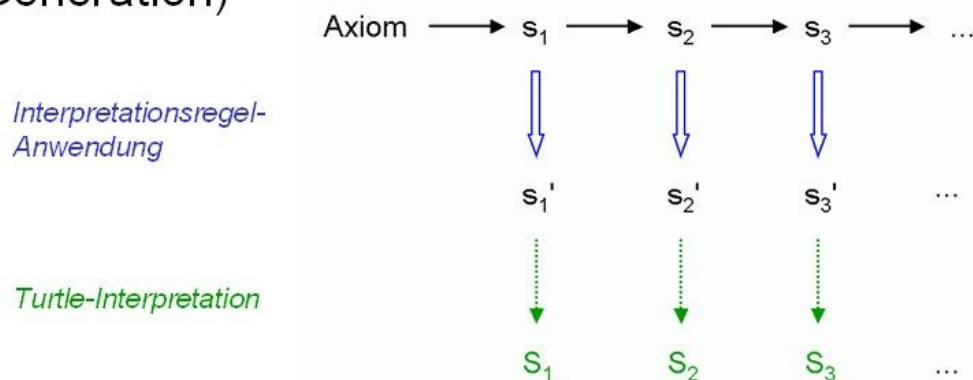
Beispiel Buchenzweige:



Nützliche Erweiterung des Formalismus:
 Einführung einer zusätzlichen Regelmenge
 "Interpretationsregeln"
 wirken nicht auf den String der nächsten Generation
 Verwendung zum Zeichnen: Vorstufe der Turtle-Interpretation
 z.B. für die Knospen und Blätter beim obigen Buchenzweig

Interpretationsregeln

Einbau einer weiteren Regelanwendung unmittelbar vor der grafischen Interpretation (ohne Wirkung auf die nächste Generation)



Beispiel:

```
public void run()
{ [
  Axiom ==> A;
  A ==> Scale(0.3333) for (i:(-1:1))
    for (j:(-1:1))
      if ((i+1)*(j+1) != 1)
        ( [ Translate(i, j, 0) A ] );
]
  applyInterpretation();
}

public void interpret()
[
  A ==> Box;
]
```

```

public void run()
{ [
  Axiom ==> A;
  A ==> Scale(0.3333) for (i:(-1:1))
                    for (j:(-1:1))
                    if ((i+1)*(j+1) != 1)
                    ( [ Translate(i, j, 0) A ] );
  ]
  applyInterpretation();
}

```

(a)

```

[
  A ==> Box;
]

```

(b)

```

A ==> Sphere(0.5);

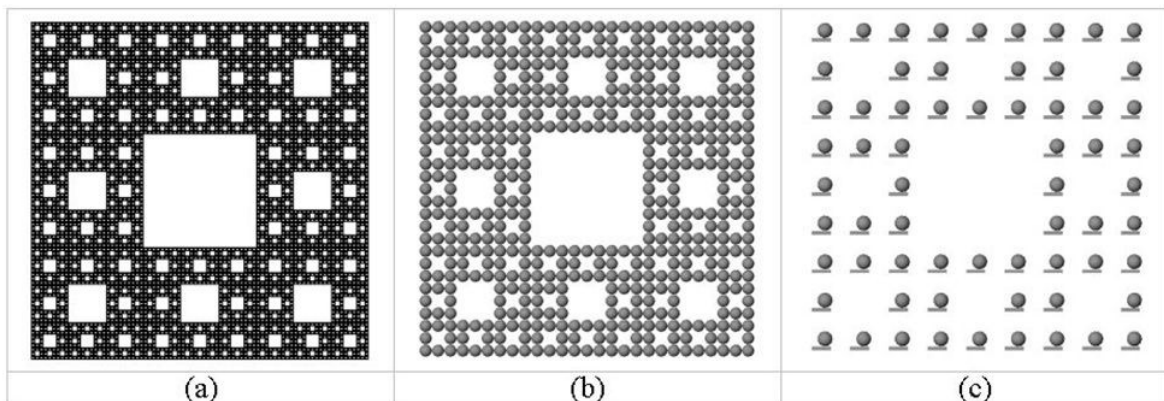
```

(c)

```

A ==> Box(0.1, 0.5, 0.1)
      Translate(0.1, 0.25, 0) Sphere(0.2);

```



was wird durch dieses Beispiel erzeugt?

```

public void run()
{
  [
    Axiom ==> [ A(0, 0.5) D(0.7) F(60) ] A(0, 6) F(100);
    A(t, speed) ==> A(t+1, speed);
  ]
  applyInterpretation();
}
public void interpret()
[
  A(t, speed) ==> RU(speed*t);
]

```

Nachteil der bisher vorgestellten L-Systeme:
Kontrolle nur durch Vorgänger-Symbol ("lineage control") oder
stochastisch

- ⇒ fehlende Interaktion innerhalb des modellierten Objekts oder mit der Umwelt
- ⇒ Determinismus oder stochastische Modelle ohne kausale Komponenten

Abhilfe: Einführung von *Sensitivität* bei der Regelanwendung.

(a) *Kontextsensitivität*

(schon altes Konzept, Beispiele bereits bei Lindenmayer...):

Abhängigkeit einer Regelanwendung vom linken und / oder rechten Kontext im String:

leftcontext < a > *rightcontext* → β.

stringbasiert!

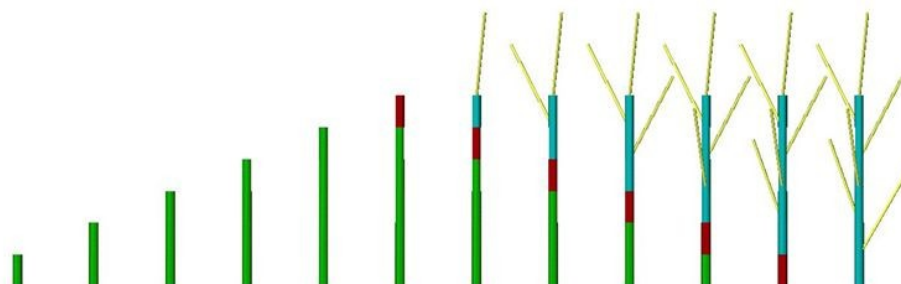
Kontextsensitivität

Abfrage eines Kontexts, der vorhanden sein muss, damit eine Regel anwendbar ist

Angabe des Kontexts in (* *)

Beispiel:

```
module A(int age);  
module B(super.length, super.color) extends F(length, 3, color);  
Axiom ==> A(0);  
A(t), (t < 5) ==> B(10, 2) A(t+1);  
A(t), (t == 5) ==> B(10, 4);  
B(s, 2) (* B(r, 4) *) ==> B(s, 4);  
B(s, 4) ==> B(s, 3) [ RH(random(0, 360)) RU(30) F(30, 1, 14) ];
```



Verwendung:

- Weiterleitung von Signalen innerhalb der modellierten Struktur

$s < a > \rightarrow a s,$

$s \rightarrow , /* \text{leeres Wort} */$

- Konzentration von Substanzen (Hormonen)
- Bewegung von Objekten (z.B. Insekten auf der Pflanze)

Beispiel: Entwicklung von Blütenständen häufig hormonal gesteuert



häufig: Zusammenwirken von 2 Signalen (von unten und von oben)

- das Modell kann Aufschluss geben, ob für eine in der Natur beobachtete morphologische Sequenz der Blütenbildung 1, 2 oder mehr Pflanzenhormone notwendig sind.

weiteres Beispiel von Prusinkiewicz & Lindenmayer (1990): *Lychnis coronaria*

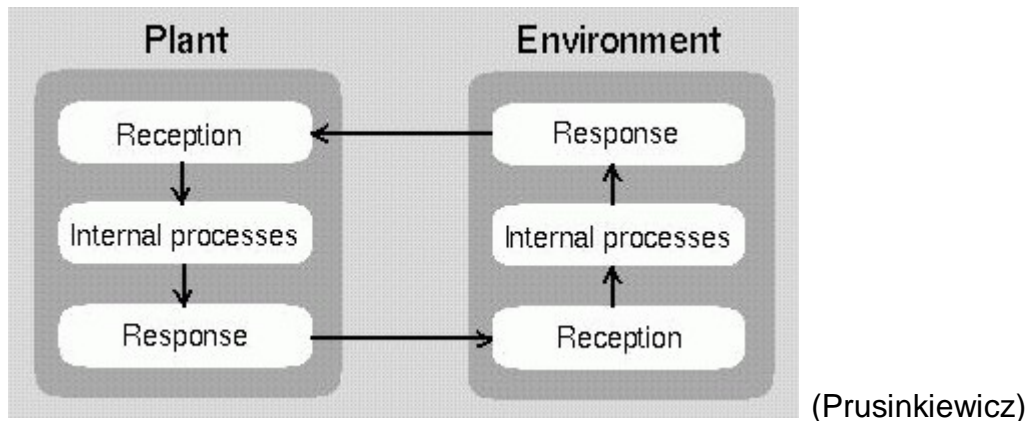


(b) globale Sensitivität
(auch: *environmentally sensitive L-systems*)

- Kommunikation mit der Umgebung über spezielle Kommunikationsmodule oder über sensitive Funktionen
- Regelanwendung hängt (potentiell) von der gesamten, aktuell vorhandenen Struktur im Objektraum (und von eventuellen externen Eingriffen) ab (nicht nur von der Stringrepräsentation)
- Schnittstelle zu physikalisch oder biologisch basierten Simulationsmodellen (man spricht dann von *open L-systems*)

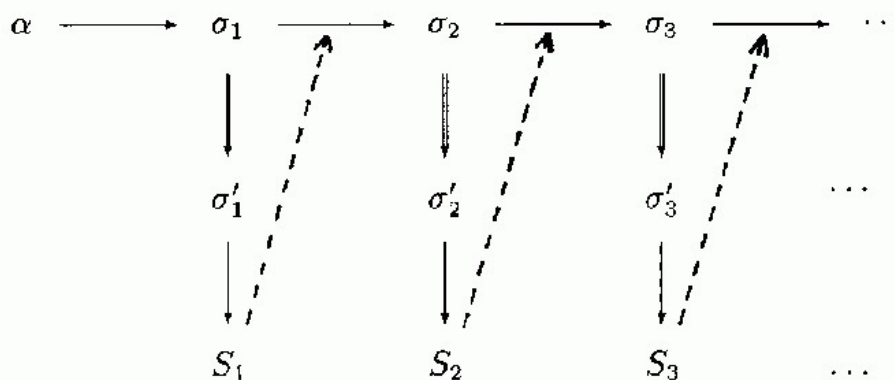
2 Herangehensweisen:

(a) scharfe Trennung von Organismus und Umgebung; der lebende Organismus wird mittels L-System modelliert, die Umgebung mittels anderer Modelle, Implementation als parallele, kommunizierende Prozesse



(b) durch Erweiterung des L-System-Formalismus Aspekte der Umgebung ins L-System "hineinholen"

Prinzip der Anwendung global sensitiver Funktionen:



gestrichelte Pfeile: Informationsfluss von der erzeugten Objektstruktur zur Regelanwendung (Regelauswahl, Parametrisierung) auf die Strings.

⇒ konzeptionell Annäherung an Graph-Grammatiken (dort würden nur noch S_1, S_2 usw. existieren, keine Strings mehr).

Beachte:

- kontextsensitive L-Systeme entsprechen den "selbst-regulierten Mustern" mit endogener Kontrolle,
- global sensitive Systeme den "sehenden Mustern" mit exogener Kontrolle (in der Systematik der Morphogenese-Modelle nach Adrian D. Bell).

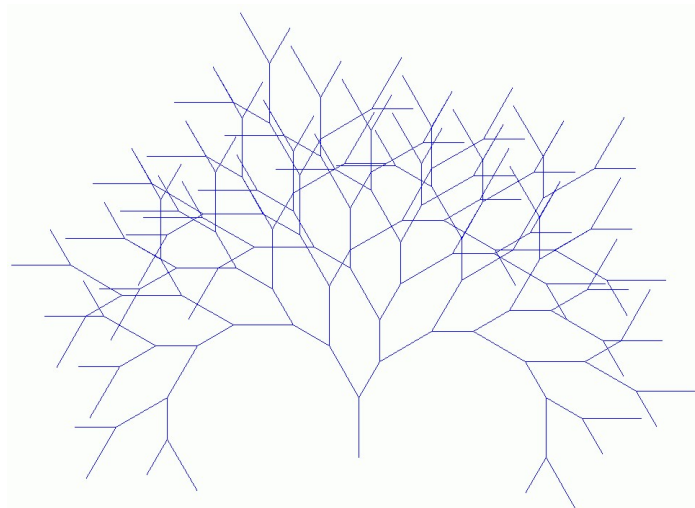
einfaches Beispiel:

Nichtsensitives und global sensibles L-System im Vergleich
nichtsensitive, dichotome Verzweigung (Syntax von GROGRA):

```
\axiom a 1-8,  
\angle 30,  
a → RH180 F100 [ - b ] + a,  
b → RH180 F70 [ - b ] + a
```

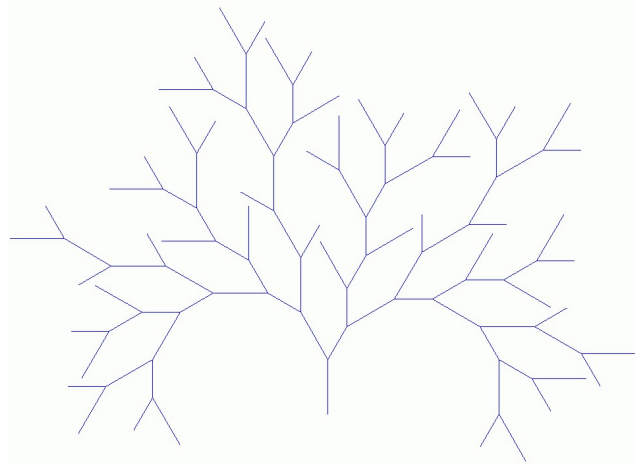
(Beispiel wird später noch einmal mit XL-Syntax aufgegriffen!)

Ergebnis:



sensitive Verzweigung mit Abhängigkeit vom Abstand zum nächsten Nachbar-Element (im Objektraum!):

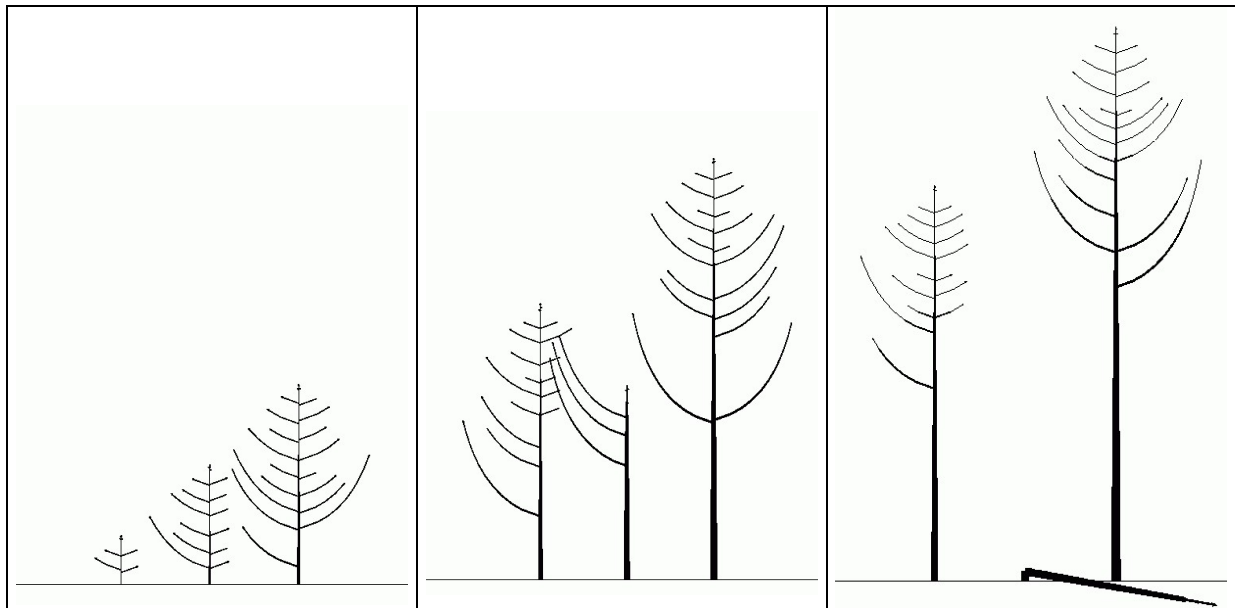
```
\axiom a 1-8,  
\angle 30,  
\var f function 2 1,  
(f(1) > 60) a → RH180 F100 [ - b ] + a,  
(f(1) > 60) b → RH180 F70 [ - b ] + a
```



Anwendung in der Pflanzenmodellierung:

- Dichteabhängigkeit des Wachstums
- Einfluss des Neigungswinkels eines Astes auf den Neuaustrieb
- Einfluss der Beschattung
- Wechselwirkung mit Herbivoren (Tiere)

Beispiel: einfaches Überschattungsmodell (2D)



hier ist das Wachstum in jedem Apex vom "Offen-sein" eines nach oben geöffneten Kegels (bzw. Winkelfeldes) abhängig; zusätzlich werden Äste, die mehrere Schritte nicht gewachsen sind, als "tot" entfernt, und der Baum kippt um, wenn alle seine Äste tot sind.

Wachstum von Bäumen unter Konkurrenzbedingungen, mit *open L-system* realisiert
(P. Prusinkiewicz et al.)





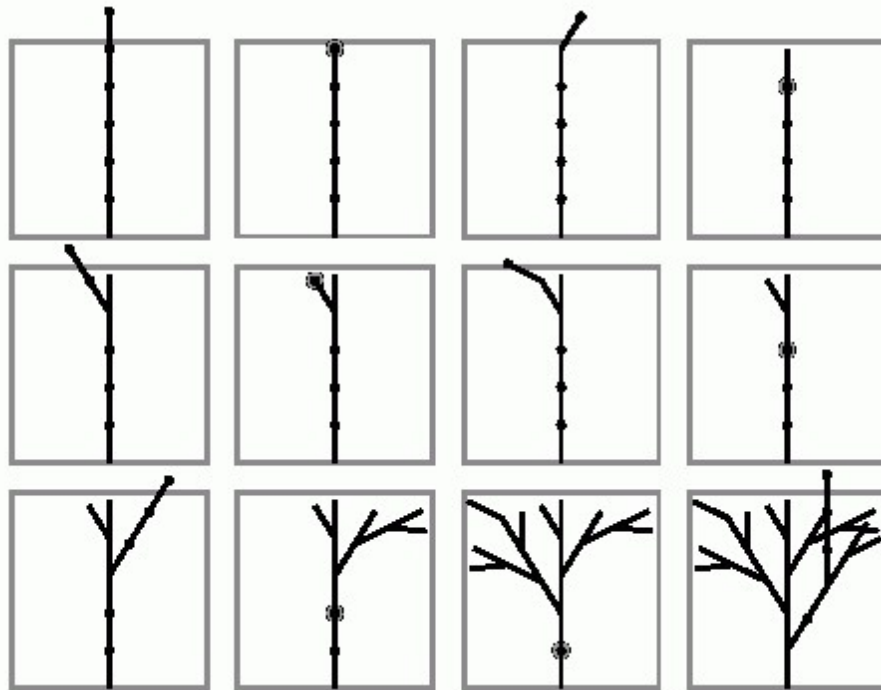
Selbstaussichtung (Astabwurf im Bestandesschatten) und asymmetrische Kronenformen als emergente morphologische Erscheinungen

weitere Beispiele später.

äußere Eingriffe: Beschneiden von Gehölzpflanzen, z.B. im Gartenbau, um eine bestimmte Form zu erzielen

- botanischer Mechanismus: Induktion der Bildung von Ersatztrieben
- Modell: sensitives L-System, das Überschreiten einer räumlich vorgegebenen Grenze registriert und wachstumsanregendes Signal induziert, dieses bringt schlafende Knospen zum Austrieb

aus Prusinkiewicz et al. (1994):



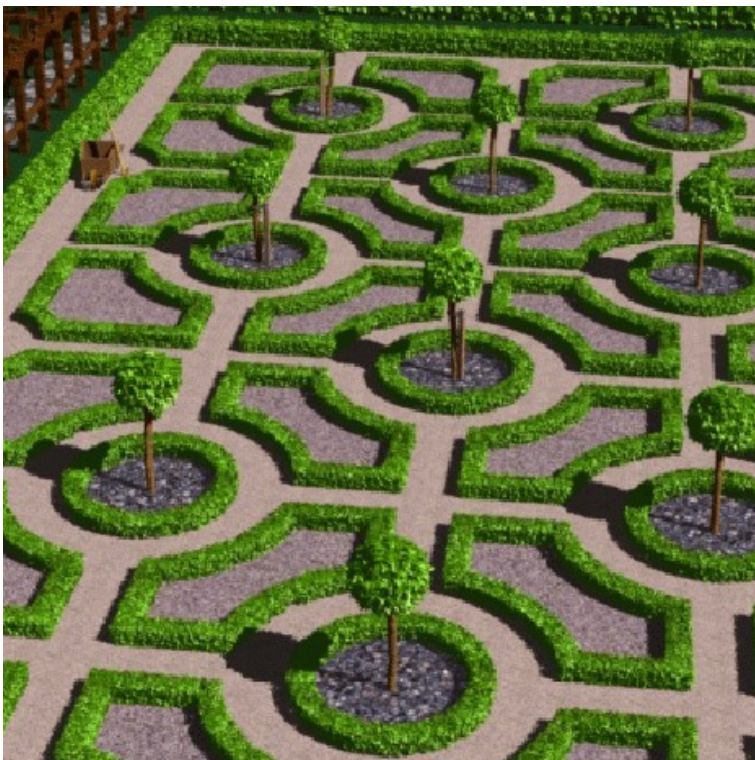
(kleine Kreise: schlafende Knospen, großer Kreis: Wachstumssignal – wandert von oben nach unten bis zur nächsten schlafenden Knospe)

3D-Version, gerendert:



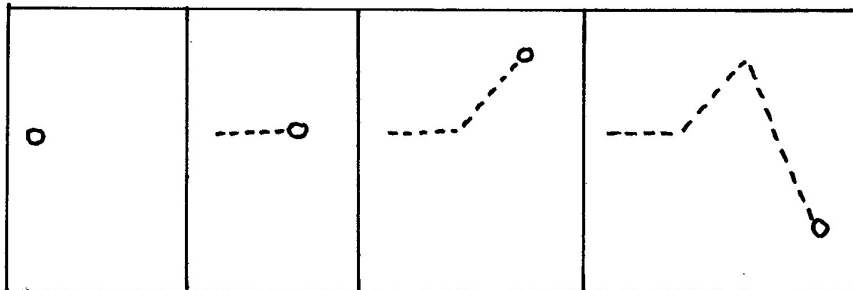


Moseley Old Hall Garden:



Beschränkung der L-System-Modelle auf ortsfeste Organismen:
wie kann diese überwunden werden?

Verwendung des f -Befehls für Bewegungen:



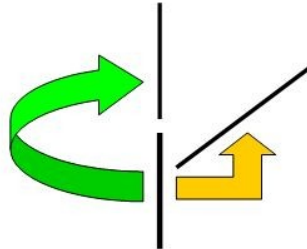
Nachteil: die Folge von " f "s wird im String immer mitgeführt

Abhilfe: Verwendung von "Metaregeln", die in diesem Fall z.B.
zwei aufeinanderfolgende, parametrisierte f -Kommandos durch
ihre Vektorsumme ersetzen
(bisher noch nicht in L-System-Software realisiert!)

Der Schritt zu relationalen Wachstumsgrammatiken

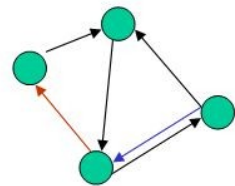
Nachteil von L-Systemen:

- in L-Systemen mit Verzweigungen (über Turtle-Kommandos) nur 2 mögliche Relationen zwischen Objekten:
"direkter Nachfolger" und "Verzweigung"



Erweiterungen:

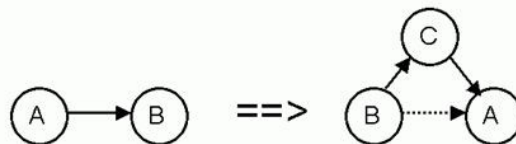
- Zulassen weiterer Relationstypen (beliebig wählbar)
- Zulassen von Zyklen (→ **Graph-Grammatik**)



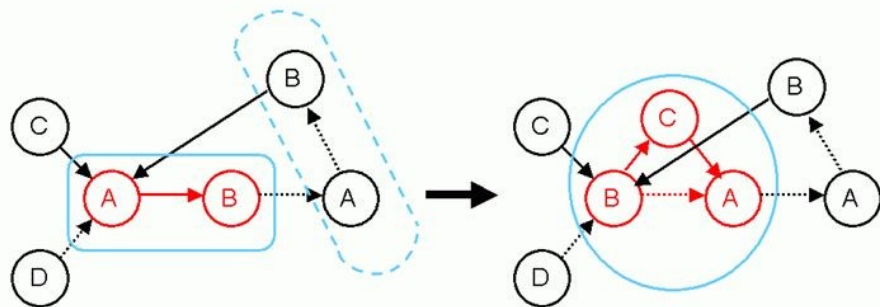
ebenfalls regelbasierter Mechanismus:

Graph-Grammatiken

Regel:



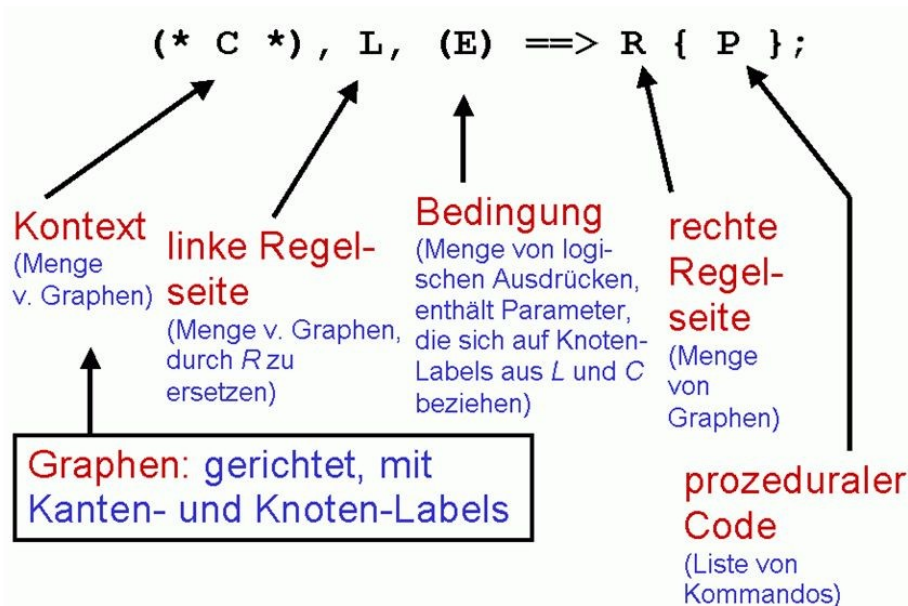
Anwendung:



RELATIONALE WACHSTUMSGRAMMATIKEN

(RGG: Relational Growth Grammars, parallele Graph-Gramm.)

Aufbau einer Regel einer RGG:



Kanten-Markierungen repräsentieren verschiedene Arten von Relationen:

- ist Nachbar von
- enthält
- trägt
- codiert (genetisch)
- ist gepaart mit
- (...)

→ auch möglich: Darstellung von multiskalierten Strukturen

Standard-Kantentypen:

successor ($>$ oder *blank*), branch ($+>$ oder erste Kante bei Klammern [...]), refinement ($/>$)

RGG als Verallgemeinerungen von L-Systemen:

Zeichenketten entsprechen speziellen Graphen



In Textform schreiben wir allgemeine (selbstdefinierte) Kanten als `-kantensorte->`

Kanten des speziellen Typs "Nachfolger" werden meist als Leerzeichen geschrieben (statt `-successor->`)

Sonderformen von RGG-Regeln:

Aktualisierungsregeln (Regelpfeil `::>`): es werden nur Parameter verändert

Beispiel: `s:Sphere ::> s[radius] += increment;`

Instanzierungsregeln: einzelne Zeichen werden in Substrukturen aufgelöst, ohne Einfluss auf den nächsten Entwicklungsschritt

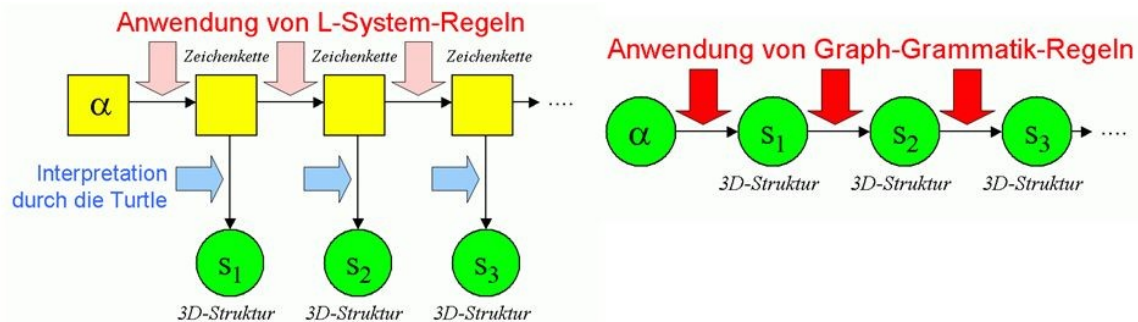
(Regel muss dann direkt in der Moduldeklaration stehen)

Beispiel:

```
module S(float value) extends Null ==>
  { float x = value;}
  Sphere(0.1).(setShader(new RGBAShader(1,1-x,1-x)));
```

Charakteristika von RGGs:

- Grammatik modifiziert direkt den Graphen, Umweg über String-Codierung entfällt (bzw. wird nur noch für Regel-Input gebraucht)



außerdem Nachteil der Turtle-Interpretation von L-Systemen: Segmente sind nur Zylinder, keine Objekte im Sinne der OOP

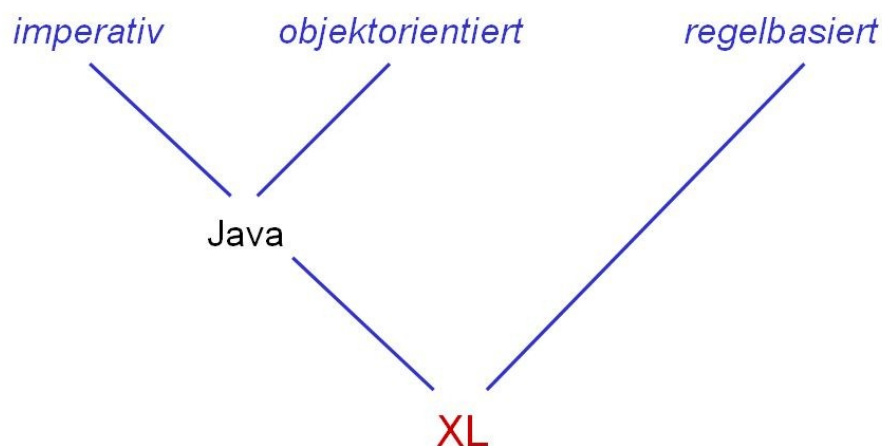
→ Erweiterungen:

- Knoten des Graphen können **beliebige Objekte** sein (auch Grafikobjekte)
- Einbettung von Code einer höheren, imperativen oder objektorientierten Programmiersprache in die Regeln (für uns: **Java**)

Programmiersprache zur Implementation von RGG: XL

„eXtended L-system language“

Programmiersprache, die parallele Graph-Grammatiken (RGG) einfach verfügbar macht



Die Sprache XL

Sprachspezifikation: Kniemeyer (2007/08)

(Dissertation erscheint in Kürze)

- Erweiterung von Java
- erlaubt zugleich Spezifikation von L-Systemen und RGG in intuitiv verständlicher Regelschreibweise

prozedurale Blöcke, ähnlich Java: { ... }

regelorientierte Blöcke (RGG-Teil): [...]

Eigenschaften der Sprache XL:

- Knoten der Graphen sind Java-Objekte, auch Geometrie-Objekte

Beispiel: XL-Programm für die Koch'sche Kurve

```
public void derivation()  
[  
  Axiom ==> RU(90) F(10);  
  F(x) ==> F(x/3) RU(-60) F(x/3) RU(120) F(x/3) RU(-60) F(x/3);  
]
```

Knoten des
Graphen

Kanten (Typ „Nachfolger“)

Eigenschaften der Sprache XL:

- Knoten der Graphen sind Java-Objekte, auch Geometrie-Objekte

Spezielle Knoten:

Geometrieobjekte

Box, Sphere, Cylinder, Cone, Frustum, Parallelogram...

Zugriff auf Properties über Parameterliste (Konstruktor):

```
Box(x, y, z)
```

oder mit setter-Methoden:

```
Box(...).setColor(0x007700)
```

Transformationsknoten

```
Translate(x, y, z), Scale(cx, cy, cz), Scale(c),
```

```
Rotate(a, b, c), RU(a), RL(a), RH(a), RV(c), RG, ...
```

Lichtquellen

PointLight, DirectionalLight, SpotLight, AmbientLight

Eigenschaften der Sprache XL:

- Knoten der Graphen sind Java-Objekte, auch Geometrie-Objekte
- Regeln in Blöcken [...] organisierbar, Steuerung der Anwendung durch Kontrollstrukturen

Beispiel: Regeln für den stochastischen Baum

```
start ==> L(100) D(5) A;  
A ==> F0 LMul(0.7) DMul(0.7)  
  if (probability(0.5))  
    ( [ RU(50) A ] [ RU(-10) A ] )  
  else  
    ( [ RU(-50) A ] [ RU(10) A ] );
```



Eigenschaften der Sprache XL:

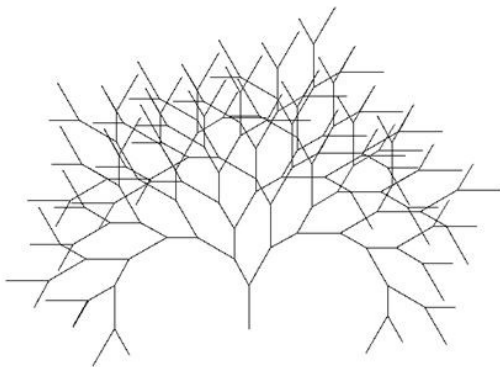
- Knoten der Graphen sind Java-Objekte, auch Geometrie-Objekte
- Regeln in Blöcken [...] organisierbar, Steuerung der Anwendung durch Kontrollstrukturen
- parallele Regelanwendung
- parallele Ausführung von Zuweisungen möglich
- Operatorüberladung (z.B. „+“ für Zahlen wie für Vektoren)
- mengenwertige Ausdrücke (genauer: Producer statt Mengen)
- Graph-Abfragen (queries) zur Analyse der aktuellen Struktur

Beispiel für Graph-query:

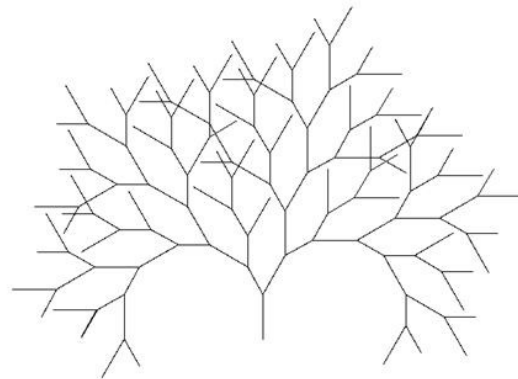
Binärer Baum, Wachstum soll nur erfolgen, wenn genügender Abstand zu anderen F-Objekten

```
Axiom ==> F(100) [ RU(-30) A(70) ] RU(30) A(100);  
a:A(s) ==> if ( forall(distance(a, (* F *))) > 60 )  
              ( RH(180) F(s) [ RU(-30) A(70) ] RU(30) A(100) )
```

ohne die if-Bedingung



mit der if-Bedingung



Eigenschaften der Sprache XL:

- Knoten der Graphen sind Java-Objekte, auch Geometrie-Objekte
- Regeln in Blöcken [...] organisierbar, Steuerung der Anwendung durch Kontrollstrukturen
- parallele Regelanwendung
- parallele Ausführung von Zuweisungen möglich
- Operatorüberladung (z.B. „+“ für Zahlen wie für Vektoren)
- mengenwertige Ausdrücke (genauer: Producer statt Mengen)
- Graph-Abfragen (queries) zur Analyse der aktuellen Struktur
- aggregierende Operatoren (z.B. „sum“, „mean“, „forall“, „selectWhereMin“)

Anfragen (queries) in den erzeugten Graphen

Möglichkeit der Verbindung von Struktur und Funktion

Beispiel: suche alle Blätter, die Nachfolger des Knotens c sind, und summiere deren Fläche

```
sum (( * c (>) + Leaf * ) .area)
```

↑
Aggregationsoperator

↑
transitive Hüllenbildung

↙
Ergebnis kann
übergeben werden an
prozedurale
Berechnung

Query in einem Pflanzen- / Tier-Modell:

p :Plant,

```
(* a:Animal, (distance(a,p) < p[radius]) *)
```

↑
sucht alle Tiere innerhalb des Radius von p

was ist von der in XL erzeugten Graph-Struktur sichtbar?

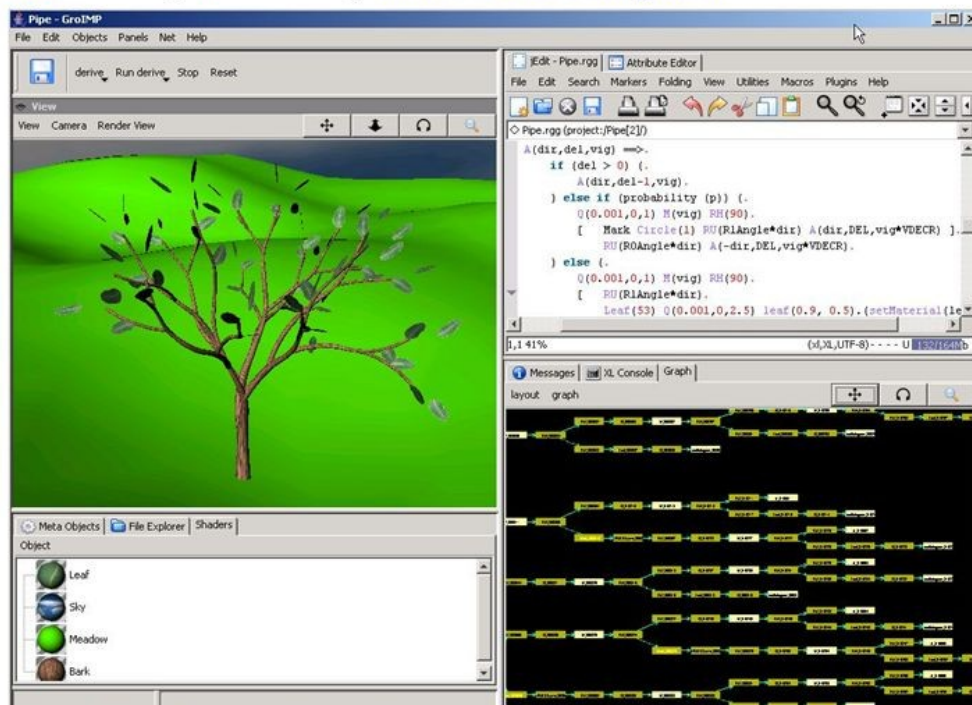
alle Geometrieknoten, die von der Wurzel (Zeichen: ^) des Graphen über genau einen Pfad, der nur aus "successor"- und "branch"-Kanten besteht, erreichbar sind.

Erzwingen, dass ein Objekt auf jeden Fall sichtbar ist:

==>> ^ Objekt

zum Arbeiten mit XL:

Interaktive 3D-Plattform **GroIMP** (Growth-grammar related Interactive Modelling Platform) mit XL-Compiler



- GroIMP ist ein Open Source-Projekt

<http://www.grogra.de>

GroIMP ist eine Kombination von:

- Graph-Grammatiken- (XL-) Interpreter
- Entwicklungsumgebung für XL
- 3D-Modeller
- 3D-Renderer (mehrere Varianten)
- 2D-Graphen-Visualisierer
- Editor für 3D-Objekte und Attribute
- Texturerzeugungswerkzeug
- X3D- (VRML-) Viewer (*in Arbeit*)

Anwendungsbeispiel: Modellierung von Parklandschaften

(Rogge & Moschner 2007, für Stiftung Branitzer Park, Cottbus)

mit GroIMP
generierte Erle
in VRML-Welt



Erweiterungen des L-System-Formalismus, die bisher nicht (direkt) in die Sprache XL integriert sind:

Timed L-systems (zeitverstetigte L-Systeme)

Überwindung der Beschränkung auf diskrete Zeit:

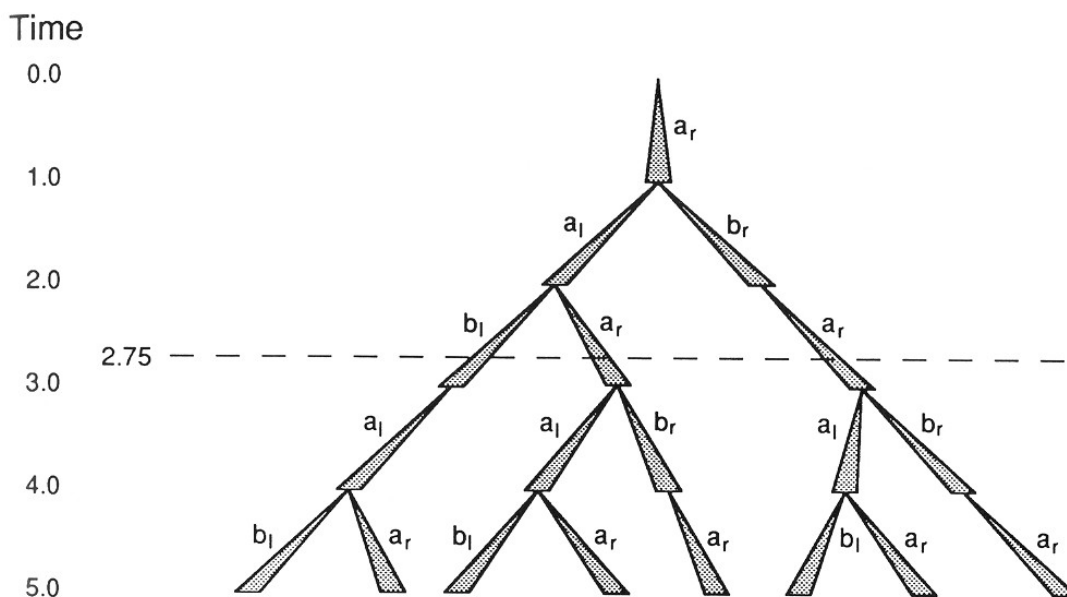
- jedes Symbol erhält als (zusätzlichen) Parameter einen Zeitwert
- dieser wird im Verlauf der Simulation stetig "hochgezählt"
- Produktionsregeln werden ausgelöst, wenn das "terminale Alter" eines Symbols erreicht ist

formale Def. siehe Prusinkiewicz & Lindenmayer (1990)

Beispiel:

$$\begin{aligned} \omega &: (a_r, 0) \\ p_1 &: (a_r, 1) \rightarrow (a_l, 0)(b_r, 0) \\ p_2 &: (a_l, 1) \rightarrow (b_l, 0)(a_r, 0) \\ p_3 &: (b_r, 1) \rightarrow (a_r, 0) \\ p_4 &: (b_l, 1) \rightarrow (a_l, 0) \end{aligned}$$

(ω = Startsymbol, p_1, \dots, p_4 = Produktionsregeln)



Nachteil: Simulation wird aufwändiger, ein Scheduler muss die Synchronisation überwachen

Überwindung der Beschränkung auf lokal 1-dimensionale Topologien (Verzweigungssysteme):

map L-systems, cellwork L-systems

verschiedene Varianten möglich

Beispiel:

Binary propagating map 0L-systems with markers

(mBPM0L-systems; Prusinkiewicz & Lindenmayer 1990)

binary: eine Region kann sich in höchstens 2 Tochter-Regionen teilen

propagating: es können keine Kanten gelöscht werden

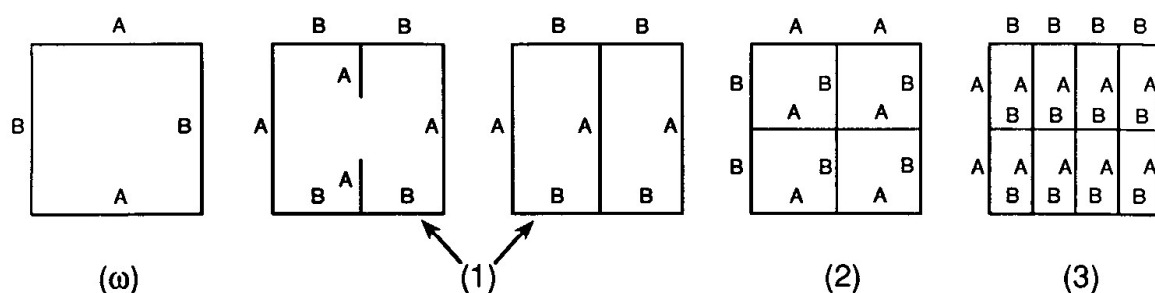
Marker: legen die Positionen neuer Kanten fest, die eine Region teilen

Symbole stehen für markierte, gerichtete Kanten (*edge labels*)
 ein Ableitungsschritt besteht aus 2 Phasen: Ersetzung aller Kanten durch Nachfolgekanten und ggf. Marker entsprechend den Produktionsregeln, und Verbinden von Markern, die "matchen", zu neuen Kanten.

Beispiel:

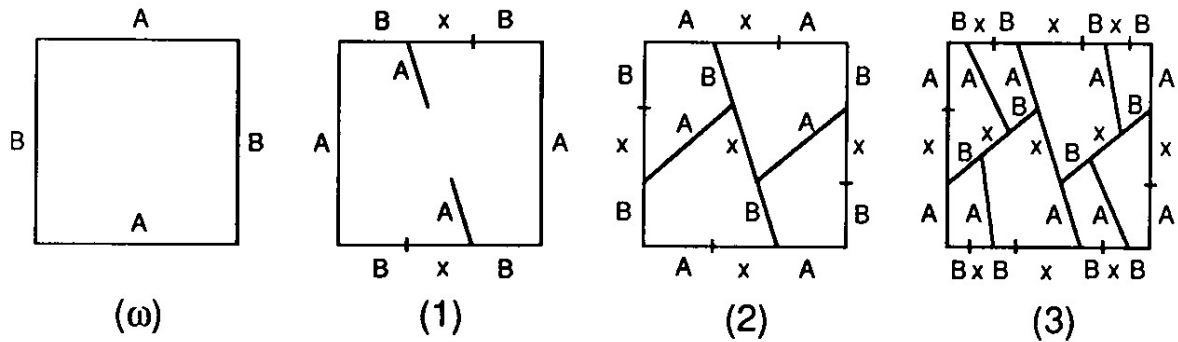
Startwort ABAB,

Regeln $A \rightarrow B \ [\ - \ A \] \ [\ + \ A \] \ B$ und $B \rightarrow A$



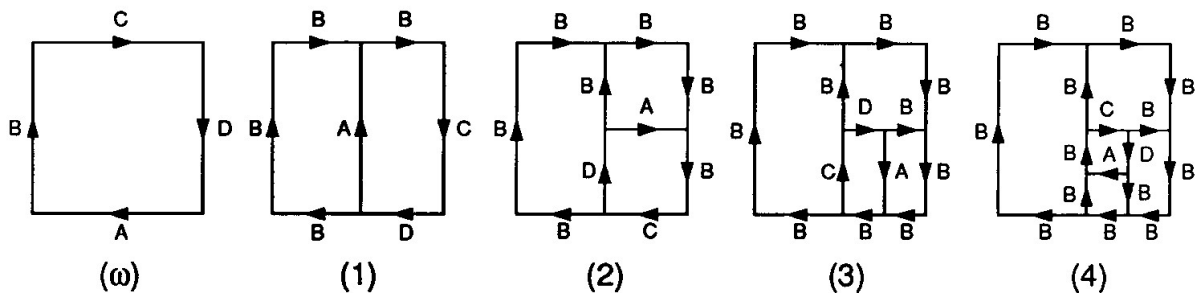
ω : ABAB
 p_1 : $A \rightarrow B[-A][+A]B$
 p_2 : $B \rightarrow A$

2. Beispiel:



$$\begin{aligned} \omega &: \text{ABAB} \\ p_1 &: \text{A} \rightarrow \text{B}[-\text{A}]x[+\text{A}]\text{B} \\ p_2 &: \text{B} \rightarrow \text{A} \end{aligned}$$

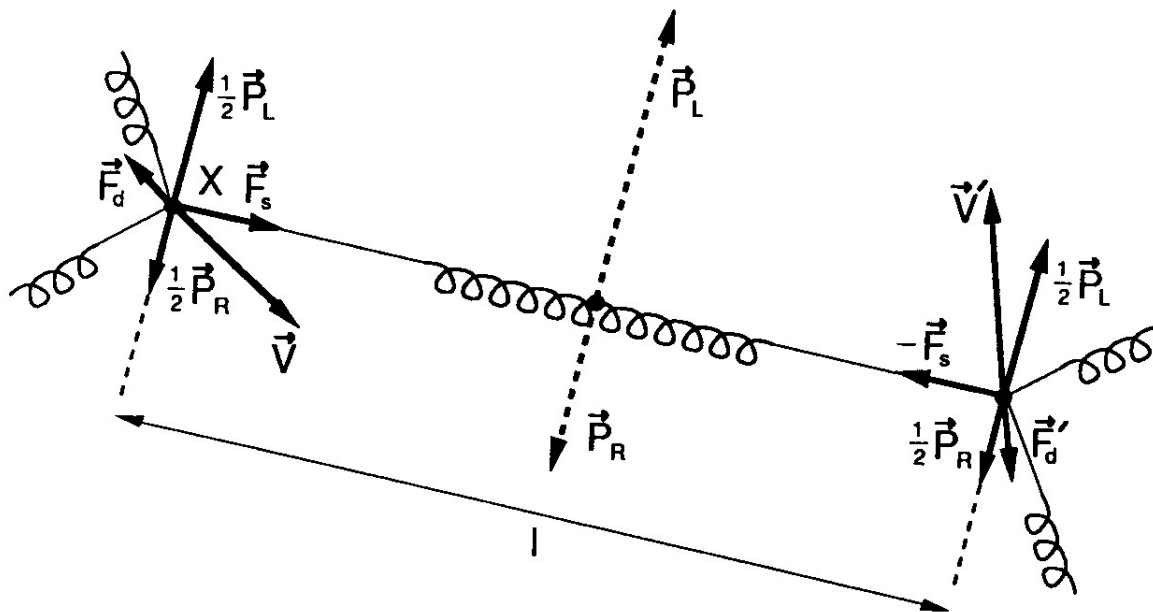
3. Beispiel (mit gerichteten Kanten):



$$\begin{aligned} \omega &: \overrightarrow{\text{A}}\overrightarrow{\text{B}}\overrightarrow{\text{C}}\overrightarrow{\text{D}} \\ p_1 &: \overrightarrow{\text{A}} \rightarrow \overrightarrow{\text{D}}[-\overrightarrow{\text{A}}]\overrightarrow{\text{B}} \\ p_2 &: \overrightarrow{\text{B}} \rightarrow \overrightarrow{\text{B}} \\ p_3 &: \overrightarrow{\text{C}} \rightarrow \overrightarrow{\text{B}}[-\overleftarrow{\text{A}}]\overrightarrow{\text{B}} \\ p_4 &: \overrightarrow{\text{D}} \rightarrow \overrightarrow{\text{C}} \end{aligned}$$

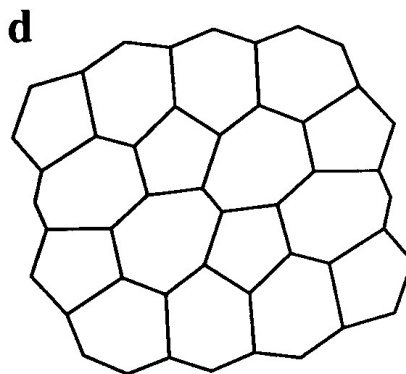
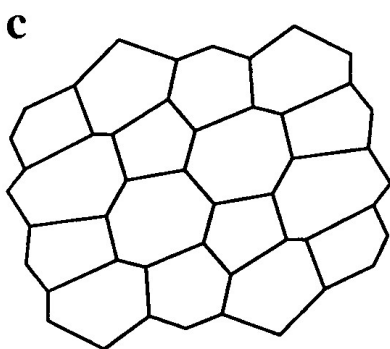
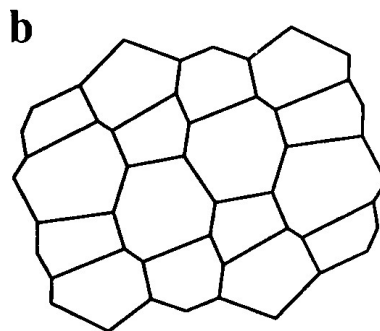
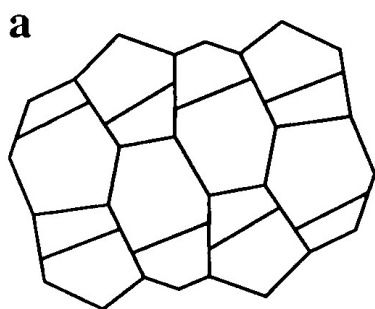
Problem: Geometrie der erzeugten Strukturen ist durch die Regeln nicht festgelegt
(anders als bei gewöhnlichen L-Systemen mit Turtle-Interpretation)

ein möglicher Ansatz: dynamisches Modell, das Kräfte annimmt, die jede Zelle auf ihre Wände (Kanten) ausübt



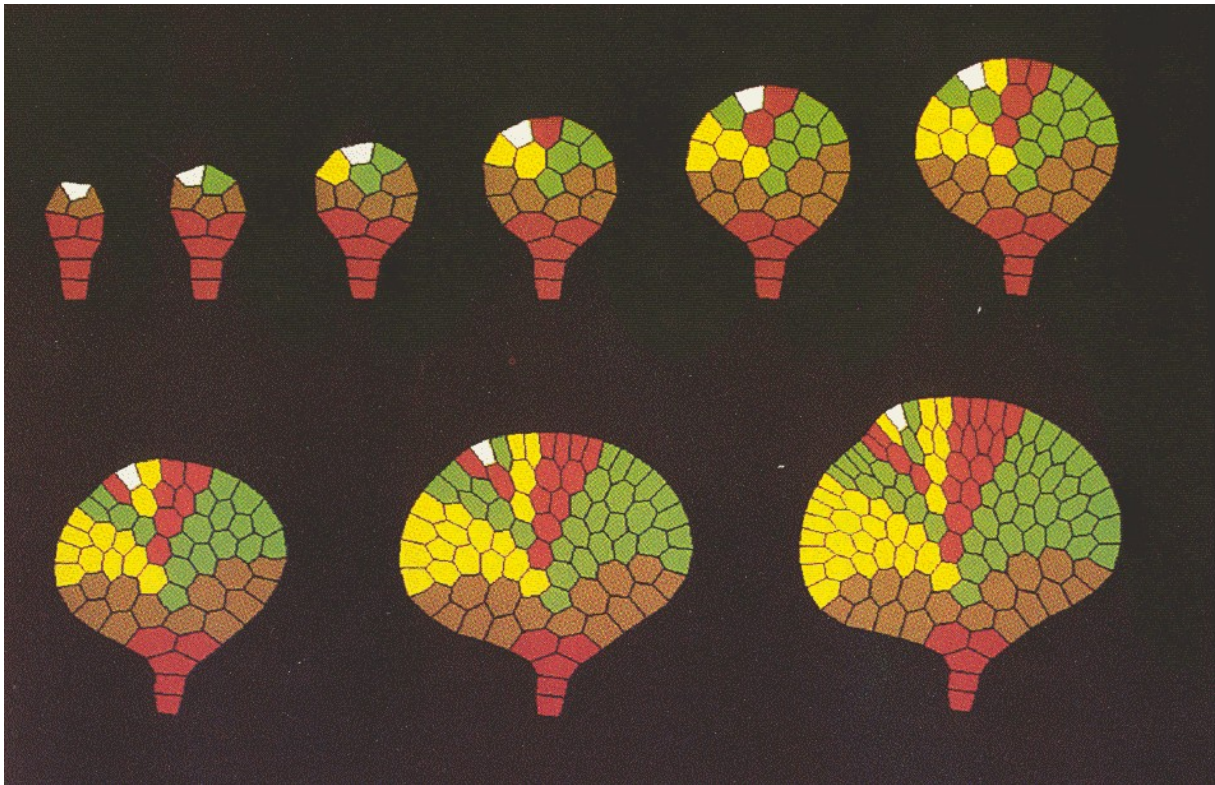
⇒ führt auf System von Differentialgleichungen, Lösung führt auf Gleichgewichtszustand

Beispiel (Iterationsschritte bei Lösung):

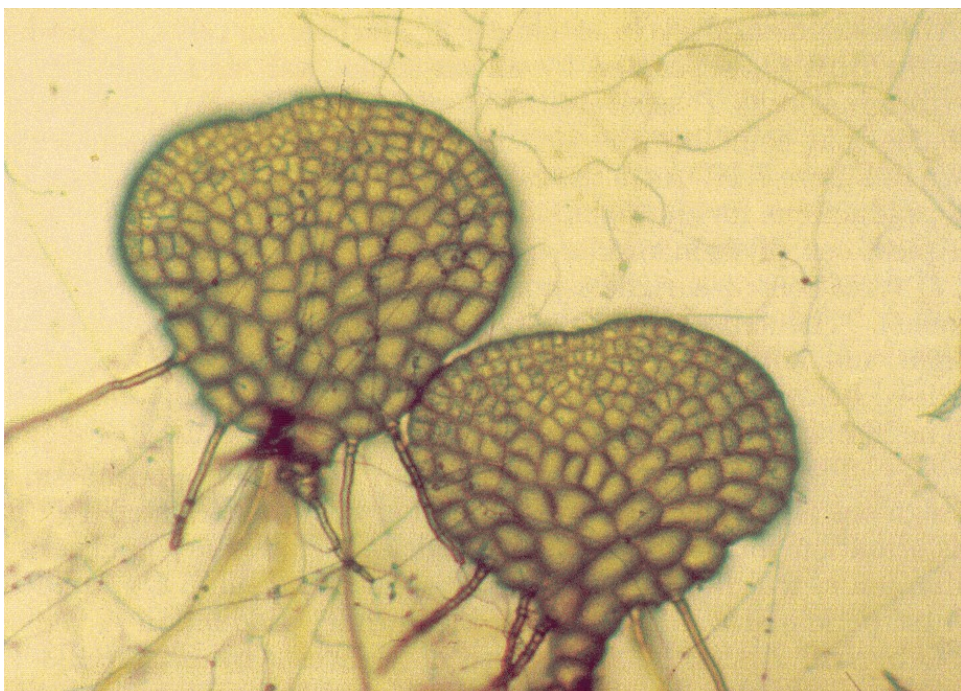


Anwendung: Simulation von Mikroorganismen
hier: *Microsorium linguaeforme* (Farn-Gametophyt; Modell beruht
auf botanischen Daten von de Boer; s. Prusinkiewicz & Lindenmayer
1990)

simulierte Entwicklung:

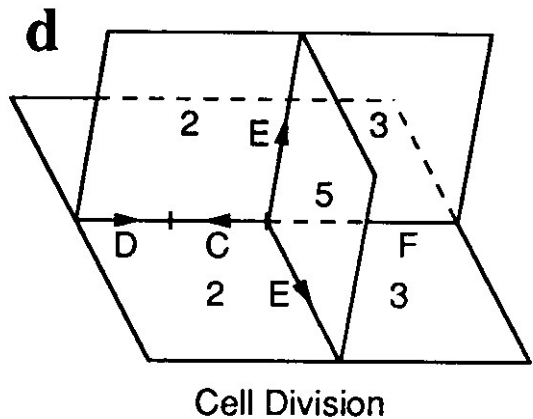
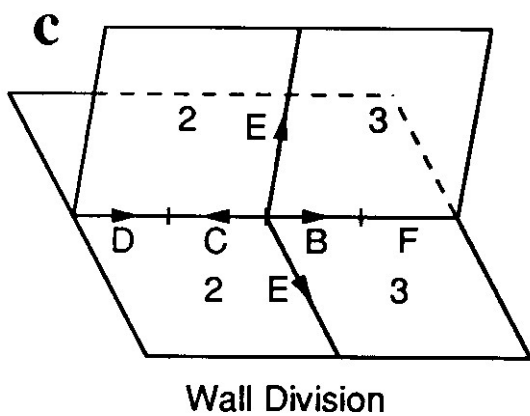
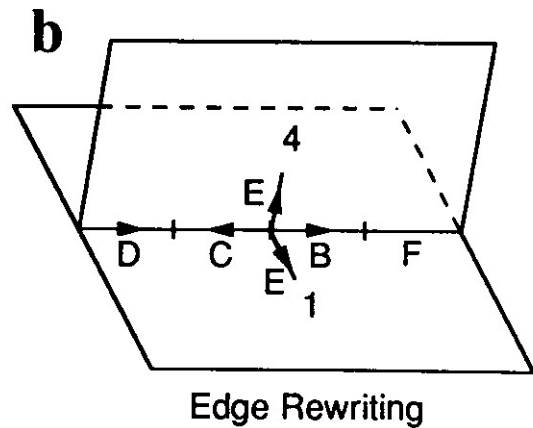
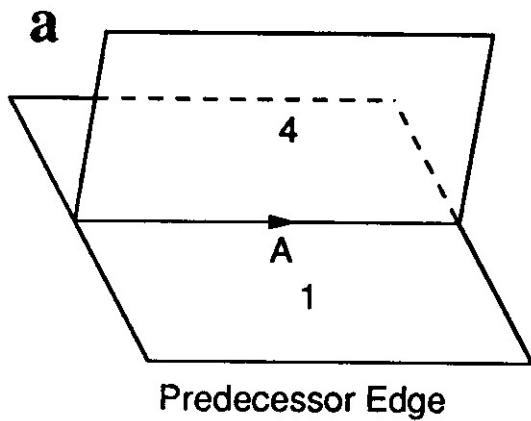


Mikrofotografie der realen Organismen:

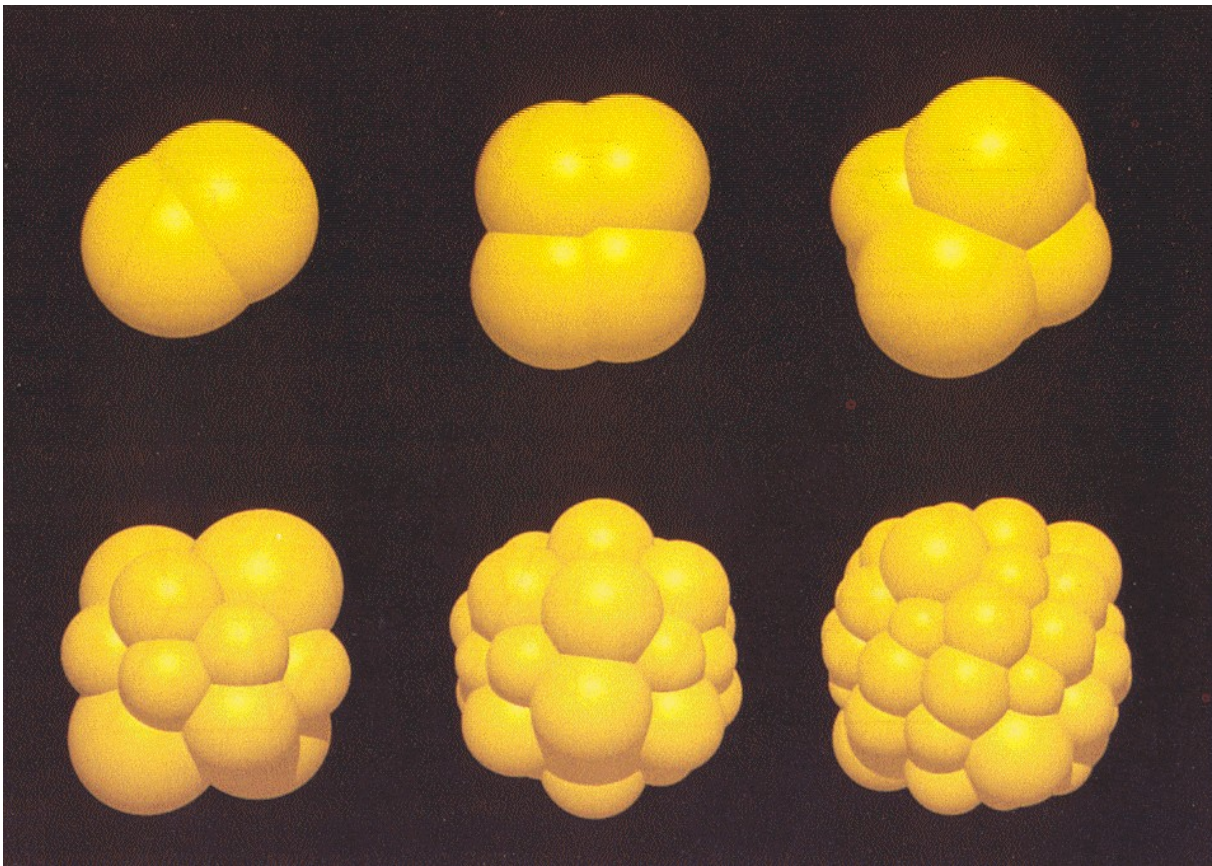


3D-Variante: *Cellwork L-systems*

- Produktionsregeln wirken ebenfalls auf die Kanten
- 3 Phasen: Rewriting, Teilung der Zellwände, Teilung der Zellen (jeweils muss *matching* geprüft werden)



Beispiel: Modell des Schnecken-Embryos *Patella vulgata*



zum Vergleich: elektronenmikroskopische Aufnahme des realen Embryos

